

# All-One 다항식에 의해 정의된 유한체 $GF(2^m)$ 상의 효율적인 Bit-Parallel 정규기저 곱셈기

장용희<sup>0</sup> 권용진

한국항공대학교 정보통신공학과

{yhjang<sup>0</sup>, yjkwon}@mail.hankong.ac.kr

## An Efficient Bit-Parallel Normal Basis Multiplier for $GF(2^m)$ Fields Defined by All-One Polynomials

Yong-Hee Jang<sup>0</sup> Yong-Jin Kwon

Dept. of Inform. & Telecomm. Eng., Hankuk Aviation University

### 요 약

유한체  $GF(2^m)$  상의 산술 연산 중 곱셈 연산의 효율적인 구현은 암호이론 분야의 어플리케이션에서 매우 중요하다. 본 논문에서는 All-One 다항식에 의해 정의된  $GF(2^m)$  상의 효율적인 Bit-Parallel 정규기저 곱셈기를 제안한다. 게이트 및 시간 면에서 본 논문의 곱셈기의 complexity는 이전에 제안된 같은 종류의 곱셈기 보다 낮거나 동일하다. 그리고 본 논문의 곱셈기는 이전 곱셈기 보다 더 모듈적이어서 VLSI 구현에 적합하다.

### 1. Introduction

유한체  $GF(2^m)$  상의 산술 연산, 즉 덧셈, 곱셈, 제곱(squaring) 및 곱셈역원 연산 등은 부호이론, 컴퓨터 대수, 암호이론과 같은 분야의 어플리케이션에서 많이 사용된다[7]. 이들 어플리케이션이 효율적으로 구현되기 위해서는 이들 연산에 대해서 면적 및 시간적인 면에서 효율적인 알고리즘과 하드웨어 구조가 필요하다[4]. 덧셈은 매우 간단히 구현되지만, 다른 연산들은 더 복잡하다. 덧셈 연산을 제외한 다른 연산들, 즉 exponentiation, 나눗셈 및 곱셈역원 연산은 곱셈 연산을 반복 계산하여 수행되므로 곱셈 연산을 효율적으로 구현하는 것은 매우 중요하다[8].

지금까지 일반적인 기약 다항식에 의해 정의된 유한체  $GF(2^m)$  상의 Bit-Parallel 곱셈기가 많이 제안되어 왔다. 그러나 이들 곱셈기는 시스템 복잡도가 커서 암호 분야의 어플리케이션에 비효율적이다[8]. 1989년에 Itoh와 Tsujii[1]는 시스템 복잡도를 감소시키기 위해 차수  $m$ 의 기약 All-One Polynomial(AOP)에 의해 정의된 유한체  $GF(2^m)$  상의 low-complexity Bit-Parallel 곱셈기를 제안했다. 이 이후로 AOP에 의해 정의된  $GF(2^m)$  상의 Bit-Parallel 곱셈기가 많이 제안되어 왔다(예 [2],[3],[4],[5],[6],[7],[8]).

본 논문에서는 정규기저를 사용하고 AOP에 의해 정의된  $GF(2^m)$  상의 Bit-Parallel 정규기저 곱셈기를 제안한다. 본 논문의 곱셈기의 AND 게이트 및 XOR 게이트의 complexity는 각각  $m^2$  및  $m^2-1$ 이다. 그리고 시간 complexity는  $T_A + (1 + \lceil \log_2(m-1) \rceil)T_X$ 으로 이전에 제안된 같은 종류의 곱셈기 보다 complexity가 낮거나 같다. 그러나 본 논문에서 제안한 Bit-Parallel 정규기저 곱셈기는 이전에 제안된 곱셈기와는 다른 구조를 가지며 몇몇 다른 장점을 가진다.

### 2. Preliminaries

#### 2.1 Normal Basis Representation

\* 본 논문은 과학기술부·한국과학재단지정 「한국항공대학교 인터넷정보보안연구센터」의 연구비 및 IDEC의 지원으로 수행되었음.

유한체  $GF(2^m)$ 의 임의의 원소  $A$ 는  $GF(2)$ 상에서 정규기저(Normal Basis),  $\beta^0, \beta^1, \dots, \beta^{m-1}$  ( $\beta \in GF(2^m)$ )를 사용해서 표현할 수 있다.  $A$ 와  $B$ 를  $GF(2^m)$ 의 원소라 하고  $(a_0, a_1, \dots, a_{m-1})$ 과  $(b_0, b_1, \dots, b_{m-1})$ 을 각각  $A$ 와  $B$ 의 위 정규기저에 관한 좌표라고 하자. 그리고  $A$ 와  $B$ 의 곱을  $C$ 라고 하면  $C$ 의 각 좌표  $c_i$ 는 아래와 같이 얻어진다.

$$c_i = a \times M_i \times b^T = a^{(i)} \times M_0 \times b^{(i)^T}, \quad 0 \leq i \leq m-1 \quad (1)$$

여기서  $a^{(i)}$ 와  $b^{(i)}$ 은 각각  $a = [a_0, a_1, \dots, a_{m-1}]$ 와  $b = [b_0, b_1, \dots, b_{m-1}]$ 의  $i$ -fold left cyclic shift이다. 그리고  $T$ 는 vector Transposition이며  $M_i$ 는 각 성분이  $GF(2)$ 에 속 하는  $m \times m$  행렬이다.

각  $M_i$ 에서 1의 개수는 모두 동일하며, 이 1의 개수를  $C_N$ 으로 보통 표시한다.  $M_i$ 에서 1인 요소의 개수가 정규기저 곱셈기의 게이트 수를 결정하기 때문에,  $C_N$ 을 정규기저의 complexity라 한다.

$C_N$ 은  $C_N \geq 2m-1$  이라고 증명되어 있으며,  $C_N = 2m-1$  일 때의 정규기저를 최적정규기저(Optimal Normal Basis: ONB)라고 한다. 이 ONB에는 두 종류, 즉 type-I과 type-II가 존재한다.

#### 2.2 $GF(2^m)$ Fields Defined by All-One Polynomials

$GF(2)$  상에서 다항식  $P(x) = p_0 + p_1x + p_2x^2 + \dots + p_{m-1}x^{m-1} + p_mx^m$ 의 모든 계수가 1이면, 즉  $i=0, 1, 2, \dots, m-1, m$ 에 대해서  $p_i=1$ 이면, 다항식  $P(x)$ 를 차수  $m$ 의 All One Polynomial(AOP)이라 한다. AOP가 기약 다항식일 필요충분조건은  $m+1$ 이 소수이고 2가 유한체  $GF(m+1)$ 의 생성원이어야 한다. 100이하인 정수  $m$ 에 대하여, 차수  $m$ 의 AOP가 기약이 되는  $m$ 의 값은 2, 4, 10, 12, 18, 28, 36, 52, 58, 60, 66, 82, 100이다[8].

$P(x) = 1 + x + x^2 + \dots + x^{m-1} + x^m$ 을 차수  $m$ 의 기약 AOP라 하고  $\beta$ 를  $P(x)$ 의 근이라 하자. 그러면  $1 + \beta + \beta^2 + \dots + \beta^{m-1}$

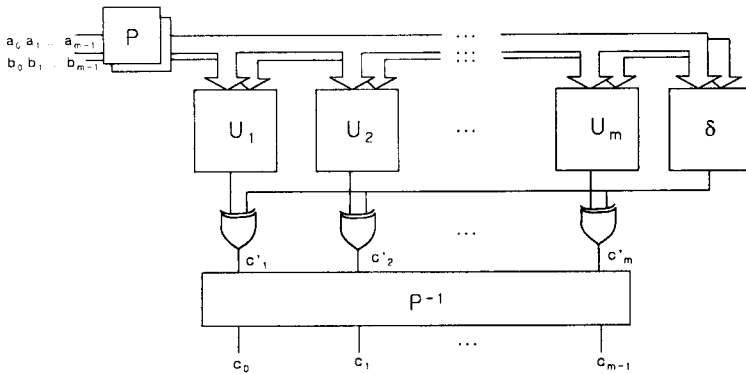


그림 1. 제한한 Bit-Parallel 정규기저 곱셈기

$+ \beta^m = 0$ 이므로  $\beta^{m+1} = 1$ 이 된다.

차수  $m$ 의 기약 AOP의 한 근을  $\beta$ 라고 하면,  $\beta^2 (i=1, \dots, m-1)$ 도 또한 근이 된다. 그리고 차수  $m$ 의 기약 AOP에 의해 정의된  $GF(2^m)$ 의 정규기저는  $\beta^2 (i=0, 1, \dots, m-1)$ 에 의해 형성될 수 있으며, 이 정규기저는 type-I ONB이다. AOP의 차수  $m$ 에 대해서, 2는 법  $m+1$ 에 관해서 원시근이므로  $\{2^0, 2^1, \dots, 2^{m-1}\}$ 은 법  $m+1$ 에 관한 기약잉여계가 된다. 따라서 기약 AOP에 의해 정의된 type-I ONB  $\{\beta, \beta^2, \beta^3, \dots, \beta^{2^{m-1}}\}$ 은

$$\{\beta, \beta^2, \beta^3, \dots, \beta^m\} \quad (2)$$

이 된다. 집합 (2)는 또한 기저이므로  $GF(2^m)$ 의 임의의 원소를 표현할 수 있다. 정규기저로 표현된  $GF(2^m)$ 의 원소는 (2)의 기저 표현으로 쉽게 변환된다.  $\beta^{m+1} = 1$ 이므로,  $GF(2^m)$ 의 원소  $A = \sum_{i=0}^{m-1} a_i \beta^{2^i}$ 는 아래와 같이 주어진 치환  $P$ 를 사용해서

$$a'_{2^i \bmod m+1} = a_i, \quad i=0, 1, \dots, m-1 \quad (3)$$

다음과 같이 변환된다.

$$A = \sum_{i=0}^{m-1} a_i \beta^{2^i} = \sum_{i=1}^m a'_i \beta^i \quad (4)$$

### 3. An Efficient Multiplier Using Normal Basis

#### 3.1 Formulation of Multiplication

기약 AOP에 의해 정의된  $GF(2^m)$ 의 임의의 원소는 정규기저 대신에 (3)식의 치환  $P$ 를 이용하여 (2)의 기저 표현으로 쉽게 변환된다. 그래서 정규기저로 표현된  $GF(2^m)$ 의 임의의 원소  $A$ 와  $B$ 의 곱셈, 즉  $C=AB$ 를 수행하기 위해, 먼저 (3)식의 치환  $P$ 를 사용하여  $A$ 와  $B$ 를 아래와 같이 변환한 후

$$\begin{aligned} A &= \sum_{i=1}^m \beta^i = a'_1 \beta + a'_2 \beta^2 + \dots + a'_m \beta^m \\ B &= \sum_{i=1}^m \beta^i = b'_1 \beta + b'_2 \beta^2 + \dots + b'_m \beta^m. \end{aligned} \quad (5)$$

다음과 같이 곱셈을 수행한다.

$$C = AB = (A \times \beta^T) \times (\beta \times B^T) = A \times M' \times B^T. \quad (6)$$

여기서  $A = [a'_1, a'_2, \dots, a'_m]$ ,  $B = [b'_1, b'_2, \dots, b'_m]$ ,  $\beta = [\beta, \beta^2, \dots, \beta^m]$ 이고,  $M'$ 은 아래와 같이 정의된다.

$$\begin{aligned} M' &= \beta^T \times \beta = [\beta^{i+j}] \\ &= \begin{bmatrix} \beta^{1+1} & \beta^{1+2} & \dots & \beta^{1+m} \\ \beta^{2+1} & \beta^{2+2} & \dots & \beta^{2+m} \\ \vdots & \vdots & \ddots & \vdots \\ \beta^{m+1} & \beta^{m+2} & \dots & \beta^{m+m} \end{bmatrix} \end{aligned} \quad (7)$$

(7)식에서  $\beta$ 는 기약 AOP의 근이므로  $\beta^{m+1} = 1$ 이다. 그래서  $M'$ 은 아래와 같이 된다.

$$M' = \begin{bmatrix} \beta^2 & \beta^3 & \beta^4 & \beta^5 & \dots & \beta^{m-1} & \beta^m & 1 \\ \beta^3 & \beta^4 & \beta^5 & \dots & \dots & \beta^m & 1 & \beta \\ \beta^4 & \beta^5 & \dots & \dots & \dots & 1 & \beta & \beta^2 \\ \beta^5 & \dots & \dots & \dots & \dots & \beta & \beta^2 & \beta^3 \\ \vdots & \vdots & \vdots & \vdots & \vdots & \vdots & \vdots & \vdots \\ \beta^{m-1} & \beta^m & \dots & \dots & \dots & \dots & \dots & \dots \\ \beta^m & 1 & \beta & \beta^2 & \beta^3 & \dots & \dots & \beta^{m-2} \\ 1 & \beta & \beta^2 & \beta^3 & \dots & \dots & \beta^{m-2} & \beta^{m-1} \end{bmatrix} \quad (8)$$

따라서  $C$ 는 아래와 같이 주어진다.

$$C = \sum_{i=1}^m a'_i b'_{m+1-i} \cdot 1 + \sum_{i=1}^m \left( \sum_{j=1}^{m-i} a'_i a'_j b'_{m+1-i-j} + \sum_{j=1}^{i-1} a'_i a'_j b'_{i-j} \right) \beta^i \quad (9)$$

(9)식의  $\sum_{i=1}^m a'_i b'_{m+1-i} \cdot 1$ 에서 1은  $1 = \sum_{i=1}^m \beta^i$ 이다. 그래서  $\sum_{i=1}^m a'_i b'_{m+1-i}$ 을  $\delta$ 로 표시하면  $C$ 는 아래와 같이 다시 쓸 수 있다.

$$C = \sum_{i=1}^m \left( \delta + \sum_{j=1}^{m-i} a'_i a'_j b'_{m+1-i-j} + \sum_{j=1}^{i-1} a'_i a'_j b'_{i-j} \right) \beta^i. \quad (10)$$

따라서  $C$ 의 각 좌표  $c'_i$ 는

$$c'_i = \delta + \sum_{j=1}^{m-i} a'_i a'_j b'_{m+1-i-j} + \sum_{j=1}^{i-1} a'_i a'_j b'_{i-j}, \quad 1 \leq i \leq m \quad (11)$$

표 1. 기약 AOP에 의해 정의된 GF(2<sup>m</sup>)의 Bit-Parallel 곱셈기의 비교

곱셈기	기저	#AND	#XOR	시간 지연
Itoh와 Tsujii[1]	Polynomial	(m+1) <sup>2</sup>	m <sup>2</sup> +2m	T <sub>A</sub> +(⌈log <sub>2</sub> m⌉+⌈log <sub>2</sub> (m+2)⌉)T <sub>X</sub>
Hasan 등[2]	Polynomial	m <sup>2</sup>	m <sup>2</sup> +m-2	T <sub>A</sub> +(m+⌈log <sub>2</sub> (m-1)⌉)T <sub>X</sub>
Koc와 Sunar[4]	Polynomial	m <sup>2</sup>	m <sup>2</sup> -1	T <sub>A</sub> +(2+⌈log <sub>2</sub> (m-1)⌉)T <sub>X</sub>
Wu-Hasan[6]	Weakly dual	m <sup>2</sup>	m <sup>2</sup> -1	T <sub>A</sub> +(1+⌈log <sub>2</sub> (m-1)⌉)T <sub>X</sub>
Wang 등[5]	Normal	m <sup>2</sup>	2m <sup>2</sup> -2m	T <sub>A</sub> +(1+⌈log <sub>2</sub> (m-1)⌉)T <sub>X</sub>
Koc와 Sunar[4]	Normal	m <sup>2</sup>	m <sup>2</sup> -1	T <sub>A</sub> +(2+⌈log <sub>2</sub> (m-1)⌉)T <sub>X</sub>
Hasan 등[3]	Normal	m <sup>2</sup>	m <sup>2</sup> -1	T <sub>A</sub> +(1+⌈log <sub>2</sub> (m-1)⌉)T <sub>X</sub>
Reyhani-Masoleh등[7]	Normal	m <sup>2</sup>	m <sup>2</sup> -1	T <sub>A</sub> +(1+⌈log <sub>2</sub> (m-1)⌉)T <sub>X</sub>
본 논문	Normal	m <sup>2</sup>	m <sup>2</sup> -1	T <sub>A</sub> +(1+⌈log <sub>2</sub> (m-1)⌉)T <sub>X</sub>

이 된다. (10)식과 같이 주어진 C에 P의 역치환을 수행하면 원래의 정규기저로 표현된 C를 얻게 된다.

3.2 Architecture

3.1절의 (11)식을 사용해서 얻어진 병렬 정규기저 곱셈기의 구조를 그림 1에 나타낸다. 이 구조에서 P는 (3)식에 나타낸 치환을 나타낸다. 즉, 이 치환을 통해 정규기저로 표현된 입력 A와 B는 (2)의 기저 표현으로 변환된다. 그리고 각

$$U_i(i=1, 2, \dots, m) \text{는 } \sum_{j=1}^{i-1} a'_{i+j} b'_{m+1-j} + \sum_{j=1}^{i-1} a'_j b'_{i-j} \text{을 생성하고}$$

고, δ는  $\sum_{i=1}^m a'_i b'_{m+1-i}$ 을 생성한다. (11)식에 의해 각 U<sub>i</sub>의 출력 값은 δ의 출력 값과 더해져서 P의 역치환 P<sup>-1</sup> 블록에 입력된다. 이 블록을 통해 원래의 정규기저 표현으로 변환되게 된다.

4. Gate and Time Complexities

그림 1의 구조에서 치환 P와 역치환 P<sup>-1</sup>은 단순히 wiring에 의해 구현되므로 어떠한 게이트 자원도 필요로 하지 않는다. 따라서 그림 1 곱셈기의 전체 AND 게이트 및 XOR 게이트의 개수는 아래와 같다.

$$\begin{aligned} \cdot \text{전체 AND 게이트 개수} &= (\text{각 } U_i \text{의 AND 게이트 개수}) \times (\text{U}_i \text{의 개수}) + (\delta \text{의 AND 게이트 개수}) \\ &= (m-1) \times m + m = m^2 \end{aligned}$$

$$\begin{aligned} \cdot \text{전체 XOR 게이트 개수} &= (\text{각 } U_i \text{의 XOR 게이트 개수}) \times (\text{U}_i \text{의 개수}) + (\delta \text{의 XOR 게이트 개수}) + m \\ &= (m-2)m + m - 1 + m = m^2 - 1 \end{aligned}$$

그 다음으로 그림 1의 곱셈기의 시간 지연(time delay)을 조사해 보자. 그림 1의 곱셈기에서 가장 긴 입력에서 출력까지 경로는 아래와 같다.

$$\cdot \text{입력에서 출력까지의 경로} = P \rightarrow \delta \text{블록} \rightarrow \text{XOR 게이트} \rightarrow P^{-1}$$

위 경로에서 P와 P<sup>-1</sup>은 wiring에 의해 구현되므로 시간 지연에 포함되지 않는다. 그리고 δ 블록의 시간 지연은 T<sub>A</sub> + ⌈log<sub>2</sub>m⌉ T<sub>X</sub>이다(여기서 T<sub>A</sub> = AND 게이트의 시간 지연, T<sub>X</sub> = XOR 게이트의 시간 지연이다). 그리고 m이 짝수이면 ⌈log<sub>2</sub>m⌉ = ⌈log<sub>2</sub>(m-1)⌉이다. 본 논문에서 m은 항

상 짝수이므로, δ블록의 시간 지연은 T<sub>A</sub> + ⌈log<sub>2</sub>(m-1)⌉ T<sub>X</sub>이 된다. 따라서 그림 1의 곱셈기의 전체 시간 지연 T<sub>A</sub> + (1 + ⌈log<sub>2</sub>(m-1)⌉) T<sub>X</sub>이다. 위에서 계산된 그림 1의 병렬 곱셈기의 게이트 개수와 시간 지연에 대해서 기약 AOP에 의해 생성된 같은 종류의 다른 병렬 곱셈기와 비교한 결과를 표 1에 나타낸다. 표 1의 결과처럼 본 논문의 곱셈기는 면적 및 시간적인 면에서 가장 효율적인 아키텍처 속함을 알 수 있다. 그리고 본 곱셈기는 이전 곱셈기 보다 더 모듈적이어서 VLSI 구현에 적합하다.

5. Conclusions

본 논문에서는 AOP에 의해 정의된 GF(2<sup>m</sup>) 상의 Bit-Parallel 정규기저 곱셈기를 제안하였다. 본 곱셈기의 complexity는 이전에 발표된 같은 종류의 곱셈기 보다 낮거나 동일하다. 그리고 이전 곱셈기와는 다른 구조를 가지며 VLSI 구현에 적합하다.

참고문헌

- (1) T. Itoh and S. Tsujii, "Structure of Parallel Multiplier for a Class of Fields GF(2<sup>m</sup>)," *Information and Computation*, vol. 83, pp. 21-40, 1989.
- (2) M.A. Hasan, M.Z. Wang, and V.K. Bhargava, "Modular Construction of Low Complexity Parallel Multipliers for a Class of Finite Fields GF(2<sup>m</sup>)," *IEEE Trans. Computers*, vol. 41, no. 8, pp. 962-971, Aug. 1992.
- (3) M.A. Hasan, M.Z. Wang, and V.K. Bhargava, "A Modified Massey-Omura Parallel Multiplier for a Class of Finite Fields," *IEEE Trans. Computers*, vol. 42, no. 10, pp. 1278-1280, Oct. 1993.
- (4) C.K. Koc and B. Sunar, "Low-Complexity Bit-Parallel Canonical and Normal Basis Multipliers for a Class of Finite Fields," *IEEE Trans. Computers*, vol. 47, no. 3, pp. 353-356, Mar. 1998.
- (5) C.C. Wang, T.K. Truong, H.M. Shar, L.J. Deutsch, J.K. Omura, and I.S. Reed, "VLSI Architecture for Computing Multiplications and Inverses in GF(2<sup>m</sup>)," *IEEE Trans. Computers*, vol. 34, no. 8, pp. 709-716, Aug. 1985.
- (6) H. Wu and M.A. Hasan, "Low Complexity Bit-Parallel Multipliers for a Class of Finite Fields," *IEEE Trans. Computers*, vol. 47, no. 8, pp. 883-887, Aug. 1998.
- (7) A. Reyhani-Masoleh and M.A. Hasan, "A New Construction for Massey-Omura Parallel Multiplier over GF(2<sup>m</sup>)," *IEEE Trans. Computers*, vol. 51, no. 5, pp. 511-520, May 2002.
- (8) C.Y. Lee, E.H. Lu, and J.Y. Lee, "Bit-Parallel Systolic Multipliers for GF(2<sup>m</sup>) Fields Defined by All-One and Equally Spaced Polynomials," *IEEE Trans. Computers*, vol. 50, no. 5, pp. 385-393, May 2001.